#### **———** НЕОРГАНИЧЕСКИЕ МАТЕРИАЛЫ И НАНОМАТЕРИАЛЫ **——**

УЛК 546.261:28+546.832:27

# ПОЛУЧЕНИЕ И ХЕМОСЕНСОРНЫЕ СВОЙСТВА КОМПОЗИЦИОННОГО МАТЕРИАЛА ${ m Ti}_2{ m CT}_x-10~{ m mon.}~\%~{ m SnO}_2$

© 2024 г. Е. П. Симоненко<sup>a</sup>, \*, А. С. Мокрушин $^a$ , И. А. Нагорнов $^a$ , С. А. Дмитриева $^{a$ ,  $^b$ , Т. Л. Симоненко $^a$ , Н. П. Симоненко $^a$ , Н. Т. Кузнецов $^a$ 

<sup>a</sup>Институт общей и неорганической химии им. Н.С. Курнакова РАН, Ленинский пр-т, 31, Москва, 119991 Россия <sup>b</sup>Российский химико-технологический университет им. Д.И. Менделеева, Миусская пл., 9, Москва, 125047 Россия \*e-mail: ep\_simonenko@mail.ru

> Поступила в редакцию 06.03.2024 г. После доработки 25.04.2024 г. Принята к публикации 28.04.2024 г.

Разработан гибридный метод получения композиционного материала  ${\rm Ti_2CT_x}{-10}$  мол. %  ${\rm SnO_2}$ , сочетающий в себе осаждение в присутствии диспергированных аккордеоноподобных агрегатов максена и последующую гидротермальную обработку. В результате многослойный максен декорирован наночастицами диоксида олова размером ~2–4 нм, а межслоевое расстояние многослойного максена  ${\rm Ti_2CT_x}$  увеличилось с 11.6 до 13.5 Å. Установлена высокая чувствительность рецепторного слоя полученного композиционного материала  ${\rm Ti_2CT_x}{-}{\rm SnO_2}$ , нанесенного с применением микроплоттерной печати, при комнатной температуре и в условиях относительной влажности 23% по отношению к 100 ppm этанола, аммиака и диоксида азота. Определенные высокие отклики нанокомпозита на изменение влажности позволяют рассматривать его в качестве перспективного рецепторного материала для датчика влажности.

Ключевые слова: максен, композит, хеморезистивный газовый сенсор, микроплоттерная печать

**DOI:** 10.31857/S0044457X24100149, **EDN:** JHSIIM

#### **ВВЕДЕНИЕ**

Возникающие с развитием промышленности экологические проблемы вызывают насущную потребность разработки недорогих, мобильных и потребляющих относительно низкое количество энергии газоаналитических устройств [1-7]. Большими преимуществами обладают хеморезистивные газовые сенсоры, эффективность применения которых определяется прежде всего свойствами рецепторных материалов, в подавляющем большинстве полупроводниковых оксидов металлов [8–15]. При всех положительных свойствах сенсоров на основе полупроводниковых оксидов металлов они имеют и серьезные общие недостатки, в частности низкую селективность, значительную чувствительность величины отклика к влажности атмосферы и достаточно высокие температуры детектирования, что приводит к повышенному энергопотреблению и исключает применение гибких полимерных подложек. Для решения указанных проблем предлагается использовать мультисенсорные системы совместно с современными математическими методами обработки сигнала [16—23], что позволяет различать отклики даже для химически близких аналитов, например различных спиртов. В связи с этим чрезвычайно важной задачей является расширение библиотеки перспективных сенсорных материалов, обладающих максимально отличающейся чувствительностью к различным газообразным соединениям и способных осуществлять детектирование при относительно невысоких температурах, оптимально — при комнатной температуре.

В настоящее время высокий практический интерес вызывают планарные наноматериалы [24–27], для которых свойственны низкие температуры детектирования, особенно максены [28–30]. Последние имеют несколько значимых преимуществ: низкую рабочую температуру, легкую деформируемость покрытий (это важно для датчиков на гибких подложках), высокое соотношение сигнал/шум [31], позволяющее снизить предел детектирования до интервала единиц и долей ррb [32–34]. Однако для них отмечается и ряд недостатков, среди которых необходимо

выделить низкие величины отклика (единицы и доли процентов), плохие кинетические характеристики, дрейф базовой линии [31, 35—37]. С целью улучшения сенсорных свойств предлагается использовать композиционные материалы, в которых максены модифицированы полупроводниковыми оксидами металлов.

Показано, что классический рецепторный материал хеморезистивных газовых сенсоров диоксид олова - в сочетании с максенами, в первую очередь с Ті<sub>3</sub>С<sub>2</sub>Т<sub>2</sub>, проявляет достаточную эффективность в повышении величины отклика на различные аналиты: как на токсичные неорганические газы [38-46], так и на летучие органические соединения [47-53]. Причем в зависимости от метода получения композита максен-SnO, и температуры детектирования возможно значительное изменение селективности материала. Так, в работах [38-42] установлена высокая селективность и чувствительность нанокомпозитов Ti<sub>3</sub>C<sub>2</sub>T<sub>x</sub>-SnO<sub>2</sub> к оксидам азота, которые существенно, в некоторых случаях в несколько раз, превышали данные параметры для индивидуальных компонентов, а температура детектирования варьировалась от комнатной до 150°C. В статьях [43–45], несмотря на большую разницу в методах синтеза композиционных материалов  $Ti_3C_2T_4$ -SnO<sub>2</sub> (молекулярное наслаивание [43], гидротермальная обработка [44], магнетронное напыление [45]), показана их высокая чувствительность к аммиаку уже при комнатной температуре. В работе [46] для нанокомпозита, также содержащего максен Ті,С,Т, с выращенными в гидротермальных условиях частицами SnO, на его поверхности, выявлена очень высокая чувствительность к сероводороду (предел обнаружения составил ~6 ppb) при температуре детектирования 80°С. Допирование диоксида олова максеном  $Ti_3C_2T_2$  позволяет увеличить отклик рецепторного материала на этанол (что типично и для индивидуальных максенов) при рабочих температурах 200-230°C [47, 48]. Формирование более сложного по составу композита  $SnO - SnO_2 - Ti_3C_2T_2$  [49] за счет образования гетеропереходов и высокой металлической проводимости максена позволяет при комнатной температуре повысить отклик на 100 ррт ацетона в 11 и 4 раза по сравнению с индивидуальными  $Ti_3C_2T_1$  и  $SnO-SnO_2$ , соответственно. В статье [50] показана перспективность нанокомпозита  $Ti_3C_2T_x$ -SnO, для детектирования при комнатной температуре формальдегида,

а в исследованиях [51] и [52] — для определения аминов — триэтиламина и этаноламина соответственно. Данные о селективном определении более сложного аналита перфторизобутиронитрила как одного из компонентов экологически чистого оборудования с газовой изоляцией сообщается в работе [53].

Таким образом, композиционные материалы, включающие диоксид олова и максен (на примере  $\mathrm{Ti}_{_3}\mathrm{C}_2\mathrm{T}_{_x}$ ), показали свою перспективность в качестве рецепторных материалов для химических газовых сенсоров. Однако среди большого объема публикаций нами найдена всего лишь одна статья о получении нанокомпозита, содержащего  $\mathrm{SnO}_2$  и такой титансодержащий максен, как  $\mathrm{Ti}_2\mathrm{CT}_x$ , к тому же его апробировали лишь в качестве возможного материала для анода литий-ионных батарей [54], а хемосенсорные свойства не исследовали.

В связи с этим цель настоящей работы — получение и исследование сенсорных свойств нанокомпозита, содержащего многослойный максен  ${\rm Ti}_2{\rm CT}_x$  и наночастицы классического сенсорного материала  ${\rm SnO}_3$ .

#### ЭКСПЕРИМЕНТАЛЬНАЯ ЧАСТЬ

Для синтеза МАХ-фазы Ti<sub>2</sub>AlC использовали порошки титана (>99%, ООО "СНАБТЕХ-МЕТ"), алюминия (≥98%, ООО "РусХим"), графита (>99.99%, ООО "Особо чистые вещества"), КВг (х. ч., ООО "РусХим"), для селективного травления атомов алюминия в составе МАХ-фазы Ti<sub>2</sub>AlC — фторид натрия NaF (ос. ч., ООО "РусХим") и соляную кислоту HCl (х. ч., ООО "РусХим").

Основной метод синтеза исходной МАХфазы Ti, AlC детально описан в работах [55-59]. Использовали модификацию синтеза в защитном расплаве солей [60-64] при соотношении компонентов n(Ti): n(Al): n(C) = 2:1.1:0.9. В полученную смесь порошков добавляли предварительно осущенный порошок бромида калия KBr в массовом соотношении m(Ti+Al+C): m(KBr) = 1:1, выполняли помол в среде этанола с применением размольного стакана и шаров из ZrO<sub>2</sub>. После консолидации при комнатной температуре цилиндрических образцов осуществляли синтез при температуре 1000°C, длительность выдержки составляла 5 ч. Для получения многослойного максена Ті<sub>2</sub>СТ, использовали 1.2 М раствор фторида натрия в 6 М соляной

кислоте [56, 58, 59, 65]. Деламинацию максена после его выделения и очистки не проводили.

Композиционный порошок  ${\rm Ti}_2{\rm CT}_x{-10}$  мол. %  ${\rm SnO}_2$  получали по следующей методике. Порошок Ті,СТ, массой 10 мг диспергировали в 1 мл этилового спирта путем обработки соответствующей суспензии в ультразвуковой ванне в течение 20 мин. Далее к полученной системе добавляли необходимый объем раствора хлорида олова(II) в разбавленной соляной кислоте, после чего значение рН доводили до 9 путем введения 5%-ного водного раствора NH, · H,O. Полученную таким образом реакционную систему помещали в стальной автоклав с тефлоновой вставкой объемом 5 мл и подвергали гидротермальной термообработке при 120°С в течение 1 ч (скорость нагрева составляла 2.5 град/мин). После естественного охлаждения автоклава твердую фазу отделяли от маточного раствора с помощью центрифугирования, дважды промывали этиловым спиртом и далее диспергировали в 1 мл 1-бутанола (ч. д. а., ООО ТД "Химмед") в ультразвуковой ванне в течение 30 мин. Полученную таким образом дисперсную систему применяли в качестве функциональных чернил для микроплоттерной печати композиционного покрытия состава Ті,СТ,-10 мол. % SnO, на поверхности специализированных дат-

Сушку нанесенных покрытий выполняли при температуре  $80^{\circ}$ С в вакууме, далее образец хранили на воздухе при обычной влажности.

Рентгенограммы порошков и покрытий записывали на рентгеновском дифрактометре Bruker D8 Advance ( $CuK_{\alpha}$ -излучение, разрешение  $0.02^{\circ}$  при накоплении сигнала в точке в течение 0.3 с). Рентгенофазовый анализ выполняли с применением программы MATCH! — Phase Identification from Powder Diffraction, Version 3.8.0.137 (Crystal Impact, Germany), в которую интегрирована база данных Crystallography Open Database.

Исследование особенностей микроструктуры образцов композиционного материала  $Ti_2CT_x$ — $SnO_2$  осуществляли методом растровой электронной микроскопии (**P9M**) с помощью двулучевого сканирующего электронно-ионного микроскопа FIB—SEM TESCAN AMBER (Tescan s.r.o., Чехия), ускоряющее напряжение 2 кВ, а также просвечивающего сканирующего микроскопа JEM-1011 (JEOL, Япония).

Измерения сенсорных свойств полученного нанокомпозита проводили на специализированной прецизионной установке [66-68]. Газовую среду в кварцевой ячейке создавали с помощью трех контроллеров расхода газа Bronkhorst с максимальной пропускной способностью 100, 200 и 1000 мл/мин. Полученный рецепторный слой Ti<sub>2</sub>C<sub>2</sub>T<sub>2</sub>-SnO<sub>2</sub> изучали на чувствительность к следующим газам-аналитам: 100 ppm CO, NH<sub>2</sub>,  $NO_2$ , бензол ( $C_6H_6$ ), ацетон ( $C_3H_6O$ ), этанол  $(C_2H_5OH)$ , 1000 ppm  $H_2$ , метан  $(CH_4)$  и 10% кислород (О2) при фиксированной относительной влажности (**RH**)  $23 \pm 1\%$ ; изучали также чувствительность на изменение влажности в атмосфере. В качестве источников анализируемых газов использовали соответствующие поверочные газовые смеси в воздухе. Для построения базовой линии применяли синтетический воздух, а при детектировании кислорода – азот (99.9999%). Электрическое сопротивление пленок измеряли с помощью цифрового мультиметра Fluke 8846A (6.5 Digit Precision Multimeter) с верхним пределом 1 ГОм. Для измерения сигнала при различной относительной влажности использовали специальную установку с барботером (при фиксированной температуре  $21\pm1^{\circ}$ C), RH газовой смеси контролировали цифровым проточным гигрометром Эксис. Все хемосенсорные измерения проводили при комнатной температуре  $(21 \pm 1^{\circ}C)$ .

Отклик на все газы рассчитывали по формуле:

$$S_{1} = \frac{\left| R_{\rm BL} - R_{\rm g} \right|}{R_{\rm BI}} \times 100\%,$$
 (1)

где  $R_{\rm BL}$  — базовая линия, сопротивление при напуске синтетического воздуха или азота (для определения кислорода в качестве базовой линии использовали азот, для других газов — синтетический воздух),  $R_{\rm g}$  — сопротивление при заданной концентрации газообразного аналита в синтетическом воздухе.

Отклик при изменении влажности рассчитывали по следующей формуле:

$$S_2 = \frac{\left| R_{\rm BL} - R_{\rm RH} \right|}{R_{\rm RL}} \times 100\%,$$
 (2)

где  $R_{\rm BL}$  — сопротивление на воздухе при фиксированной влажности,  $R_{\rm RH}$  — сопротивление на воздухе при фиксированной влажности (от 24 до 76%, изменение ( $\Delta$ ) влажности составило от 2 до 54% соответственно).

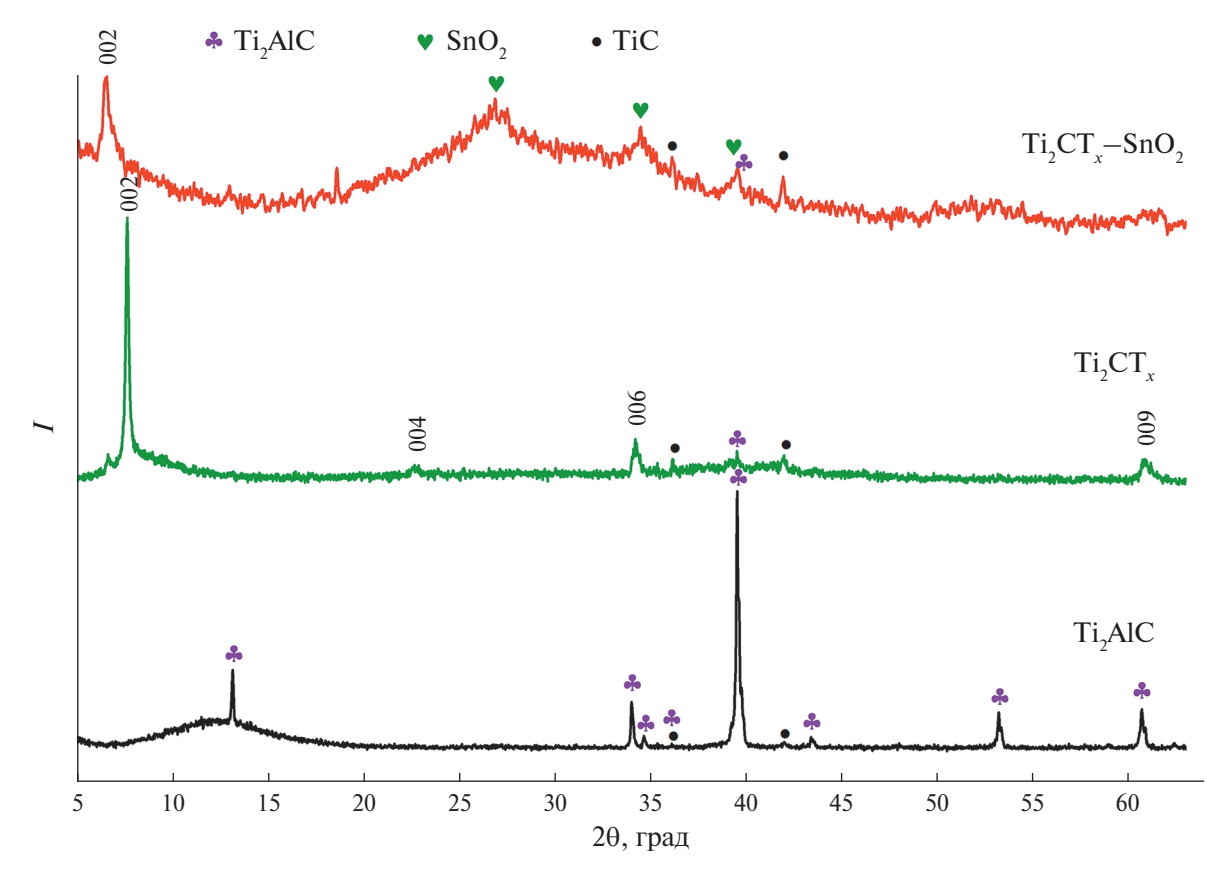
#### РЕЗУЛЬТАТЫ И ОБСУЖДЕНИЕ

Исследование полученного нанокомпозита  $Ti_2CT_x-10\,\mathrm{Mon.}\,\%\,\mathrm{SnO}_2$ 

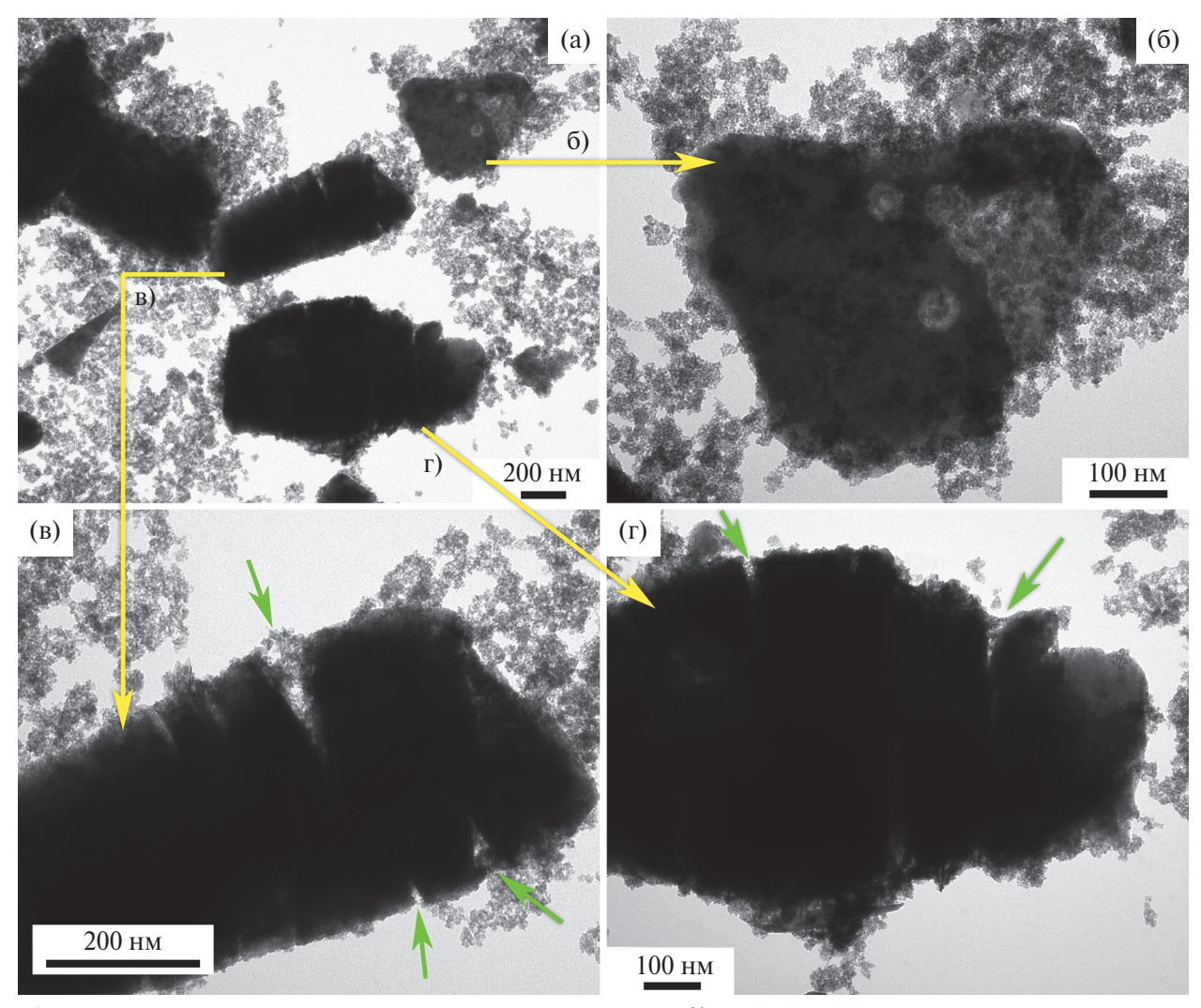
На рис. 1 представлены рентгенограммы синтезированного многослойного максена Ті,СТ, и полученного на его основе нанокомпозита Ti<sub>2</sub>CT<sub>2</sub>−10 мол. % SnO<sub>2</sub> в сравнении с исходным порошком MAX-фазы Ti<sub>x</sub>AlC. Видно, что в максене Ті<sub>2</sub>СТ, присутствуют минимальные примеси кубического карбида титана [69] и исходного Ti,AlC [70], которые в небольшом количестве наблюдаются и в композиционном материале Ti<sub>2</sub>CT<sub>2</sub>-SnO<sub>2</sub>. Установлено, что в результате селективного удаления слоев алюминия из структуры МАХ-фазы происходит увеличение межслоевого расстояния с 6.7 (для Ti,AlC) до 11.6 Å (для Ті,СТ). При этом для порошка Ті,СТ в интервале малых углов 20 имеется дополнительный рефлекс низкой интенсивности с максимумом при 6.6°, который соответствует фракции максенов с межслоевым расстоянием 13.4 Å. Получение композиционного материала Ti<sub>2</sub>CT<sub>2</sub>-SnO<sub>2</sub>, включающее гидротермальную обработку, приводит к еще большему смещению положения рефлекса (002) до  $6.5^{\circ}$ , что соответствует межслоевому расстоянию 13.5 Å. На рентгенограмме композита также можно отметить наличие сильно уширенных рефлексов, положение максимумов которых соответствует формированию фазы  $SnO_{\circ}$  со структурой касситерита [71, 72].

Просвечивающая электронная микроскопия полученного нанокомпозита  $\mathrm{Ti_2CT_x}$ —10 мол. %  $\mathrm{SnO_2}$  (рис. 2) свидетельствует о том, что гидротермальная обработка в присутствии диспергированного многослойного максена приводит к образованию глобулярных наночастиц  $\mathrm{SnO_2}$  размером 2—4 нм, которые как образуют слабосвязанные собственные агрегаты, так и плотно покрывают поверхность многослойных максенов  $\mathrm{Ti_2CT_x}$ . При этом наблюдается внедрение наночастиц  $\mathrm{SnO_2}$  между слоями аккордеоноподобного максена  $\mathrm{Ti_2CT_x}$ , что также способствует формированию более развитой поверхности нанокомпозита по сравнению с исходным многослойным максеном.

Растровая электронная микроскопия поверхности рецепторного покрытия  $Ti_2CT_2-10$  мол. %



**Рис. 1.** Рентгенограммы порошков исходной MAX-фазы  $Ti_2AlC$ , синтезированного многослойного максена  $Ti_2CT_x$  и рецепторного слоя нанокомпозита  $Ti_2CT_x-10$  мол. %  $SnO_3$ 



**Рис. 2.** Микроструктура композиционного порошка  $Ti_2CT_x-10$  мол. %  $SnO_2$  по данным ПЭМ. Зелеными стрелками обозначено внедрение наночастиц  $SnO_2$  между слоями аккордеоноподобного максена  $Ti_2CT_x$ 

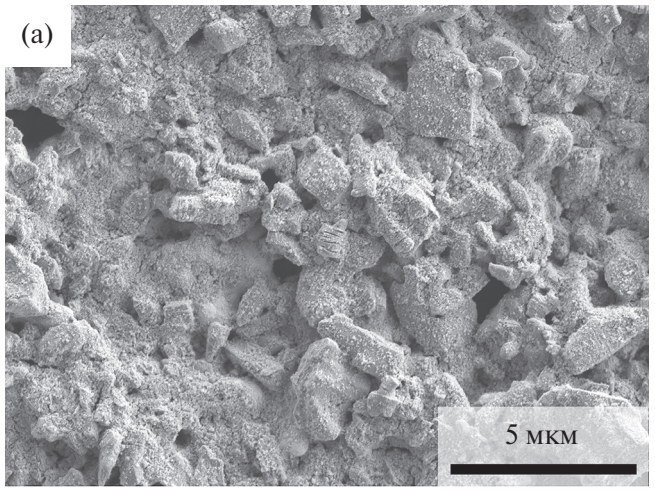
 ${
m SnO}_2$ , нанесенного методом микроплоттерной печати на поверхность сенсорной подложки, показала (рис. 3), что в результате формируется рыхлый слой на основе агрегатов многослойного максена размерами от 300 нм до 5 мкм, покрытых, вероятно, агрегатами наночастиц  ${
m SnO}_2$  размерами 15—40 нм. Контакт между массивными частицами максена обеспечивается прежде всего за счет осажденных частиц индивидуального диоксида олова в результате сушки функциональных чернил  ${
m Ti}_2{
m CT}_x$ — ${
m SnO}_2$ .

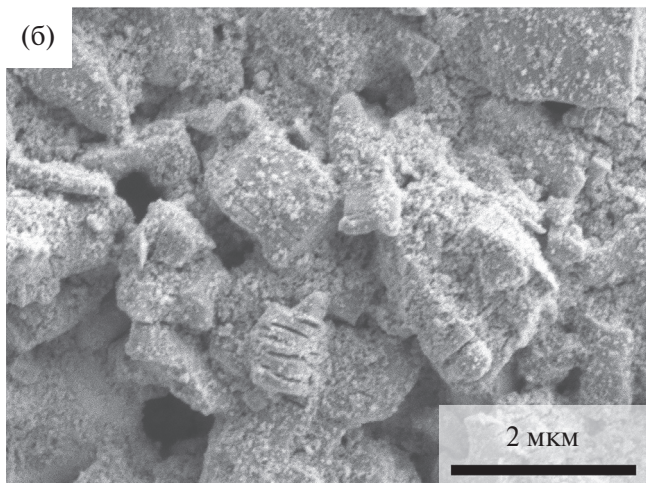
### Хеморезистивные свойства рецепторного слоя $Ti_2CT_x-10\,{\rm Moл.}\,\,\%\,{\rm Sn}\,O_2$

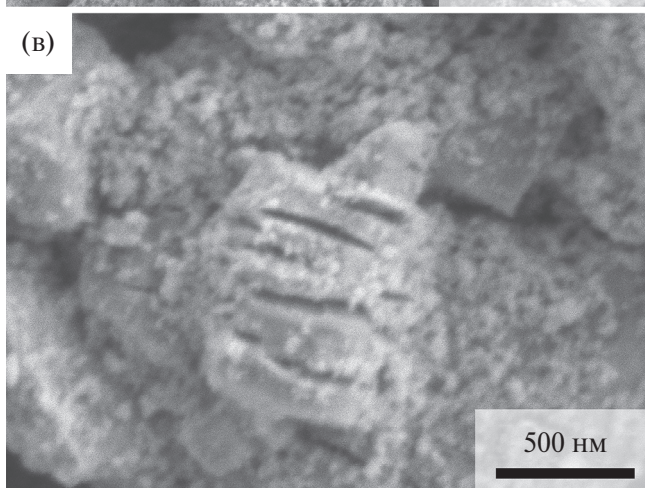
Для полученного покрытия  $Ti_2CT_x-10$  мол. %  $SnO_2$  в атмосфере сухого воздуха (RH=0%) при комнатной температуре наблюдалось сопротивление >1  $\Gamma Om$ , что не позволило провести изме-

рения. При увеличении влажности наблюдалось значительное снижение сопротивления базовой линии. Так, в атмосфере воздуха при относительной влажности  $23\pm1\%$  сопротивление составляло  $\sim\!55$  МОм, поэтому дальнейшие измерения газочувствительных свойств проводили при  $RH=23\pm1\%$ .

На первом этапе хеморезистивных измерений для полученного композиционного покрытия  $Ti_2CT_x-10$  мол. %  $SnO_2$  комплексно изучена чувствительность к широкой группе газов-аналитов (100 ppm CO, NH<sub>3</sub>, NO<sub>2</sub>, C<sub>6</sub>H<sub>6</sub>, C<sub>3</sub>H<sub>6</sub>O, C<sub>2</sub>H<sub>5</sub>OH, 1000 ppm H<sub>2</sub>, CH<sub>4</sub>, 10% O<sub>2</sub> и 23%  $\Delta$ RH). На рис. 4 представлена диаграмма селективности, составленная из откликов на различные газы. При напуске того или иного аналита наблюдалось увеличение (O<sub>2</sub>, C<sub>6</sub>H<sub>6</sub> и C<sub>2</sub>H<sub>5</sub>OH) или уменьшение (CO, NH<sub>3</sub>, NO<sub>2</sub>, C<sub>3</sub>H<sub>6</sub>O, H<sub>2</sub>, CH<sub>4</sub>, O<sub>2</sub> и  $\Delta$ RH)





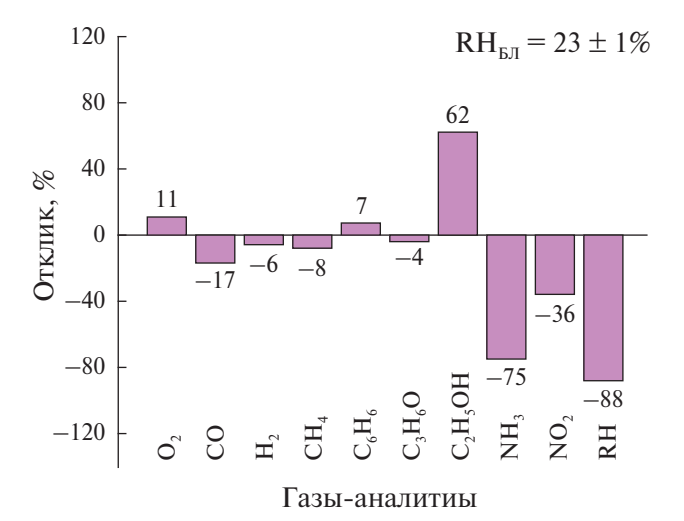


**Рис. 3.** Микроструктура рецепторного слоя  ${\rm Ti_2CT_x}{-10}\,{\rm мол.}\%$  SnO<sub>2</sub> по данным PЭM

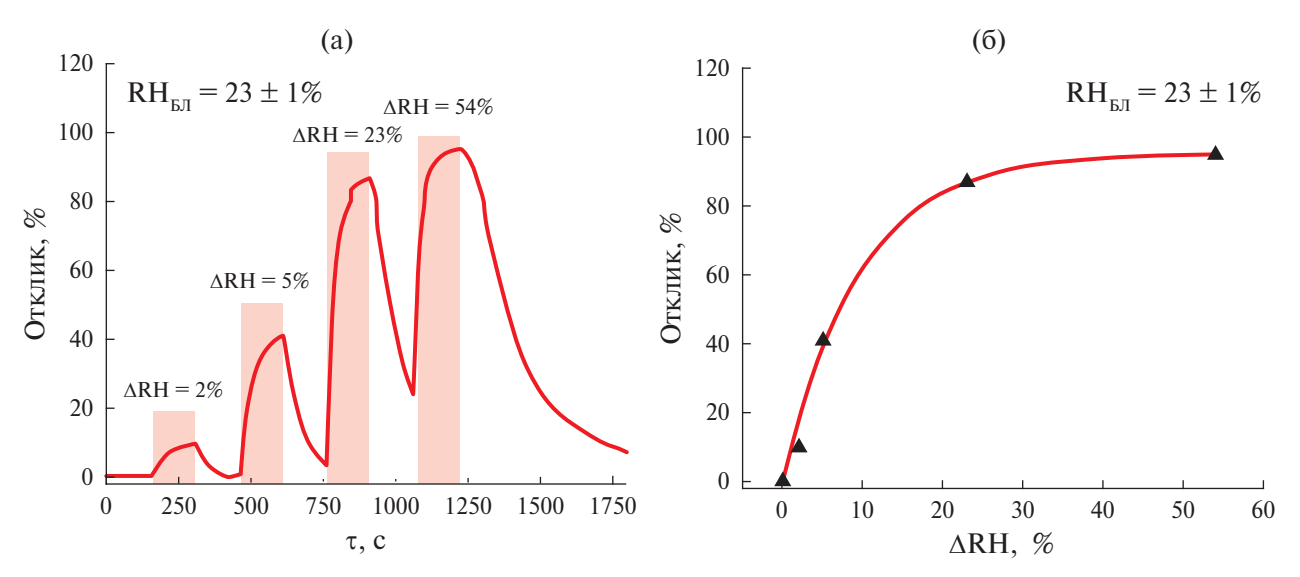
электрического сопротивления, что обусловлено различными механизмами детектирования. На диаграмме селективности (рис. 4) это изменение отображено с помощью знаков "+" и "-". Знак "+" соответствует увеличению электрического сопротивления, а знак "-" – уменьшению. Как видно из рисунка, с увеличением сопротивле-

ния достигается отклик на  $O_5$ ,  $C_6H_6$  и  $C_2H_5OH$ , а с уменьшением – на все остальные газы. Вероятно, снижение сопротивления при напуске газов-восстановителей и увеличение при напуске газов-окислителей связано с преобладанием механизма детектирования на основе полупроводникового по n-типу диоксида олова  $SnO_2$ . Рост сопротивления при детектировании типичных восстановительных газов  $\mathbf{C}_{_{\! 6}}\mathbf{H}_{_{\! 6}}$  и этанола можно объяснить более высокой чувствительностью к ним многослойного максена Ті, СТ., что ранее нами не наблюдалось [56, 65] (эксперименты в этих работах были выполнены при более высокой относительной влажности атмосферы RH = 50-55%), и влиянием образовавшегося p-n-гетероперехода на границе раздела фаз. Уменьшение же сопротивления при детектировании NO<sub>2</sub> — типичного газа-окислителя — отмечалось нами ранее и для индивидуального Ті<sub>2</sub>СТ<sub>2</sub>, и для композиционного материала Ті,СТ,-ТіО, полученного в результате частичного контролируемого окисления максена [65]. Корректного объяснения механизма детектирования нами в литературе не найдено, вероятно, он является более сложным и требует отдельного изучения.

Резюмируя, можно сделать вывод, что из всех проанализированных газов наибольший отклик (+62, -75, -36 и -88%) для полученного нанокомпозита  ${\rm Ti_2CT_x}{-10}$  мол. %  ${\rm SnO_2}$  зафиксирован на 100 ppm этанола,  ${\rm NH_3}$ ,  ${\rm NO_2}$  и 23%  $\Delta {\rm RH}$ 



**Рис. 4.** Диаграмма селективности композиционного покрытия  ${\rm Ti_2CT_x}{-}10$  мол. %  ${\rm SnO_2}$ , составленная из откликов на различные газы (100 ppm CO, NH $_3$ , NO $_2$ , C $_6$ H $_6$ , C $_3$ H $_6$ O, C $_2$ H $_5$ OH, 1000 ppm H $_2$ , CH $_4$ , 10% O $_2$  и 23%  $\Delta$ RH). Знак "+" соответствует увеличению электрического сопротивления, а знак "—" — уменьшению. Все измерения выполнены при комнатной температуре и относительной влажности  $23\pm1\%$ 

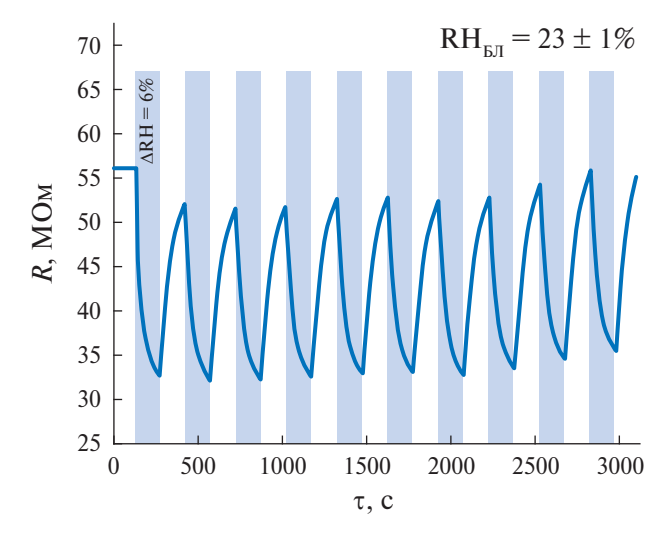


**Рис. 5.** Отклики композиционного покрытия  $T_{12}CT_x-10$  мол. %  $SnO_2$  на  $\Delta RH=2-54\%$  (а); зависимость отклика от  $\Delta RH$  в газовой атмосфере (б). Все измерения проведены при комнатной температуре и относительной влажности  $23\pm1\%$ 

соответственно, что очень часто отмечается для рецепторных материалов на основе максенов [36, 37, 40, 48, 58, 73—75] из-за характерных высоких энергий связывания. При этом высокая чувствительность к диоксиду азота отмечалась именно для нанокомпозитов, в которых максен  $\mathrm{Ti}_3\mathrm{C}_2\mathrm{T}_x$  был модифицирован полупроводниковыми оксидами металлов. Наибольшая же чувствительность к влажности (при комнатной температуре и повышенной RH) отмечена в литературе для другого индивидуального  $\mathrm{Ti}_3\mathrm{C}_2\mathrm{T}_x$  [76] и его композита с диоксидом олова  $\mathrm{SnO}_2$  [77], однако отклики в данном случае были значительно меньше полученных в настоящей работе и измерены при более высокой относительной влажности.

В связи с перспективностью полученного нанокомпозита Ti,CT, -SnO, в качестве рецепторного материала для детектирования влажности далее более подробно была изучена чувствительность к ее изменению (рис. 5). На рис. 6 представлена воспроизводимость отклика на изменение  $\Delta RH = 6\%$ . Видно, что при увеличении влажности на 6% наблюдается уменьшение сопротивления. При этом через несколько циклов напуска аналита происходит небольшой дрейф значений, что может быть связано и с незначительным изменением температуры окружающей среды. При проведении эксперимента не производилась термостабилизация барботера при создании влажной среды, поэтому даже незначительное изменение окружающей температуры могло привести к изменению положения

базовой линии, что для гиперчувствительного к влажности и рабочей температуре максена является очень заметным. На рис. 5 представлены отклики на  $\Delta RH = 2$ , 5, 23 и 54%. Показано, что при увеличении влажности происходит и увеличение откликов до 10, 41, 88 и 95% соответственно. Полученные данные свидетельствуют о заметной чувствительности максена к изменению влажности в широком диапазоне значений уже при комнатной температуре, что сильно отличает данный класс материалов от более классических — полупроводниковых оксидов металлов,



**Рис. 6.** Воспроизводимость сигнала композиционного покрытия  $Ti_2CT_x-10$  мол. %  $SnO_2$  на изменение относительной влажности  $\Delta RH=6\%$ . Все измерения проведены при комнатной температуре и относительной влажности  $23\pm1\%$ 

для которых отклики на аналиты появляются при повышенных температурах.

#### ЗАКЛЮЧЕНИЕ

В рамках исследований разработан метод получения композиционного материала, в составе которого многослойный максен Ті,СТ, декорирован 10 мол. % наночастиц SnO<sub>2</sub> со структурой касситерита размером  $\sim 2-4$  нм. Отмечено дополнительное увеличение межслоевого расстояния максена в результате гидротермальной обработки в ходе синтеза  $SnO_2$  с 11.6 до 13.5 Å. Использование данного нанокомпозита в качестве дисперсной фазы функциональных чернил для микроплоттерной печати позволило сформировать на поверхности специализированной подложки рецепторный слой, электропроводность которого ( $\sim$ 50 MOм) при относительной влажности 23 ± 1% дает возможность регистрировать хеморезистивный отклик на различные газообразные аналиты.

Установлена повышенная чувствительность полученного нанокомпозита  ${\rm Ti_2CT_x}{\rm -SnO_2}$  на 100 ppm этанола ( $\Delta R/R_{\rm BL}$  составляет +62%), аммиака ( $\Delta R/R_{\rm BL}$  составляет -75%) и диоксида азота ( $\Delta R/R_{\rm BL}$  составляет -36%), на механизм детектирования которых влияют свойства как максена (присутствие полярных функциональных групп, способность к изменению межслоевого расстояния при сорбции и значительные параметры переноса заряда между сорбируемыми молекулами и пластинами  ${\rm Ti_2CT_x}$ ), так и наночастиц полупроводникового оксида  ${\rm SnO_2}$ , введение которого приводит к повышению удельной площади поверхности материала в целом, а также образовавшиеся p-n-гетеропереходы на границах раздела фаз.

Отдельно необходимо отметить очень высокую чувствительность композиционного материала  ${\rm Ti_2CT_x}{-10}$  мол. %  ${\rm SnO_2}$  к изменению влажности атмосферы: отклики на изменение влажности на 2, 5 и 23% составили 10, 41 и 88% соответственно. Установленный факт позволяет сделать вывод о перспективности применения данного композита в составе сенсора на влажность как в индивидуальных датчиках, так и в составе мультисенсорных устройств.

#### ФИНАНСИРОВАНИЕ РАБОТЫ

Работа выполнена при финансовой поддержке Российского научного фонда (грант № 21-73-10251), https://rscf.ru/en/project/21-73-10251/

#### КОНФЛИКТ ИНТЕРЕСОВ

Авторы заявляют, что у них нет конфликта интересов.

#### СПИСОК ЛИТЕРАТУРЫ

- Hooshmand S., Kassanos P., Keshavarz M. et al. // Sensors. 2023. V. 23. № 20. P. 8648. https://doi.org/10.3390/s23208648
- 2. *Berwal P., Sihag S., Rani S. et al.* // Ind. Eng. Chem. Res. 2023. V. 62. № 37. P. 14835. https://doi.org/10.1021/acs.iecr.3c02288
- 3. *Khorramifar A., Karami H., Lvova L. et al.* // Sensors. 2023. V. 23. № 12. P. 5716. https://doi.org/10.3390/s23125716
- 4. *Prasad P., Raut P., Goel S. et al.* // Environ. Monit. Assess. 2022. V. 194. № 12. P. 855. https://doi.org/10.1007/s10661-022-10479-w
- Nazemi H., Joseph A., Park J. et al. // Sensors. 2019.
   V. 19. № 6. P. 1285. https://doi.org/10.3390/s19061285
- 6. *Fine G.F., Cavanagh L.M., Afonja A. et al.* // Sensors. 2010. V. 10. № 6. P. 5469. https://doi.org/10.3390/s100605469
- 7. *De Vito S.*, *Piga M.*, *Martinotto L. et al.* // Sens. Actuators, B: Chem. 2009. V. 143. № 1. P. 182. https://doi.org/10.1016/j.snb.2009.08.041
- Raju P., Li Q. // J. Electrochem. Soc. 2022. V. 169.
   № 5. P. 057518.
   https://doi.org/10.1149/1945-7111/ac6e0a
- Chai H., Zheng Z., Liu K. et al. // IEEE Sens. J. 2022.
   V. 22. № 6. P. 5470.
   https://doi.org/10.1109/JSEN.2022.3148264
- 10. *Yadav M., Kumar M., Chaudhary S. et al.* // Ind. Eng. Chem. Res. 2023. V. 62. № 29. P. 11259. https://doi.org/10.1021/acs.iecr.3c00242
- 11. *Yang B., Myung N.V., Tran T.* // Adv. Electron. Mater. 2021. V. 7. № 9. P. 2100271. https://doi.org/10.1002/aelm.202100271
- 12. *Castañeda L., Gonzalez-Alatriste M., Avendaño-Alejo M.* // Sens. Lett. 2016. V. 14. № 4. P. 331. https://doi.org/10.1166/sl.2016.3631
- 13. *Dadkhah M., Tulliani J.-M.* // Sensors. 2022. V. 22. № 13. P. 4669. https://doi.org/10.3390/s22134669
- 14. *Marikutsa A., Rumyantseva M., Konstantinova E.A. et al.* // Sensors. 2021. V. 21. № 7. P. 2554. https://doi.org/10.3390/s21072554
- Yuliarto B., Gumilar G., Septiani N.L.W. // Adv. Mater. Sci. Eng. 2015. V. 2015. P. 1. https://doi.org/10.1155/2015/694823
- 16. *Pazniak H., Plugin I.A., Sheverdyaeva P.M. et al.* // Sensors. 2024. V. 1. № 1. P. 38. https://doi.org/https://doi.org/10.3390/s24010038

- 17. *Szczurek A., Gonstał D., Maciejewska M. //* Sensors. 2024. V. 24. № 5. P. 1461. https://doi.org/10.3390/s24051461
- 18. Simonenko N.P., Glukhova O.E., Plugin I.A. et al. // Chemosensors. 2022. V. 11. № 1. P. 7. https://doi.org/10.3390/chemosensors11010007
- 19. Fedorov F.S., Simonenko N.P., Trouillet V. et al. // ACS Appl. Mater. Interfaces. 2020. V. 12. № 50. P. 56135. https://doi.org/10.1021/acsami.0c14055
- 20. *Ivanov S., Todorov T., Nenov T. et al.* // Int. Conf. Autom. Informatics, IEEE, 2023. P. 290. https://doi.org/10.1109/ICAI58806.2023.10339030
- 21. *Qian J., Tian F., Luo Y. et al.* // IEEE Trans. Ind. Electron. 2022. V. 69. № 5. P. 5314. https://doi.org/10.1109/TIE.2021.3080218
- 22. *Qian J., Luo Y., Tian F. et al.* // IEEE Trans. Ind. Electron. 2021. V. 68. № 7. P. 6276. https://doi.org/10.1109/TIE.2020.3000114
- 23. Devabharathi N., M. Umarji A., Dasgupta S. // ACS Appl. Mater. Interfaces. 2020. V. 12. № 51. P. 57207. https://doi.org/10.1021/acsami.0c14704
- 24. *Bhati V.S.*, *Kumar M.*, *Banerjee R.* // J. Mater. Chem. C. 2021. V. 9. № 28. P. 8776. https://doi.org/10.1039/D1TC01857D
- 25. Ravi Kumar Y., Deshmukh K., Kovářík T. et al. // Coord. Chem. Rev. 2022. V. 461. P. 214502. https://doi.org/10.1016/j.ccr.2022.214502
- Sett A., Rana T., Rajaji U. et al. // Sens. Actuators, A: Phys. 2022. V. 338. P. 113507. https://doi.org/10.1016/j.sna.2022.113507
- 27. *Tan W.C., Ang K.* // Adv. Electron. Mater. 2021. V. 7. № 7. https://doi.org/10.1002/aelm.202001071
- 28. *Nahirniak S., Saruhan B.* // Sensors. 2022. V. 22. № 3. P. 972. https://doi.org/10.3390/s22030972
- 29. *Simonenko E.P., Simonenko N.P., Mokrushin A.S. et al.* // Nanomaterials. 2023. V. 13. № 850. P. 1. https://doi.org/10.3390/nano13050850
- 30. *Xin M., Li J., Ma Z. et al.* // Front. Chem. 2020. V. 8. https://doi.org/10.3389/fchem.2020.00297
- 31. *Kim S.J., Koh H.J., Ren C.E. et al.* // ACS Nano. 2018. V. 12. № 2. P. 986. https://doi.org/10.1021/acsnano.7b07460
- 32. *Wang J., Yang Y., Xia Y.* // Sens. Actuators, B: Chem. 2022. V. 353. P. 131087. https://doi.org/10.1016/j.snb.2021.131087
- 33. *Majhi S.M., Ali A., Greish Y.E. et al.* // ACS Appl. Electron. Mater. 2022. V. 4. № 8. P. 4094. https://doi.org/10.1021/acsaelm.2c00717
- 34. *Shuvo S.N., Ulloa Gomez A.M., Mishra A. et al.* // ACS Sensors. 2020. V. 5. № 9. P. 2915. https://doi.org/10.1021/acssensors.0c01287
- 35. *Lee E., Kim D.-J.* // J. Electrochem. Soc. 2020. V. 167. № 3. P. 037515. https://doi.org/10.1149/2.0152003JES

- 36. Wu M., He M., Hu Q. et al. // ACS Sensors. 2019. V. 4. № 10. P. 2763. https://doi.org/10.1021/acssensors.9b01308
- 37. *Sun Q., Wang J., Wang X. et al.* // Nanoscale. 2020. V. 12. № 32. P. 16987. https://doi.org/10.1039/C9NR08350B
- 38. *Zhou L., Hu Y., Li S. et al.* // Appl. Phys. Lett. 2023. V. 123. № 16. https://doi.org/10.1063/5.0175767
- Kang S., Mirzaei A., Shin K. Y. et al. // Sens. Actuators,
   B: Chem. 2023. V. 375. P. 132882.
   https://doi.org/10.1016/j.snb.2022.132882
- 40. *Liu S., Wang M., Ge C. et al.* // Sens. Actuators, B: Chem. 2022. V. 365. P. 131919. https://doi.org/10.1016/j.snb.2022.131919
- 41. *Zhang B., Li C., Li M. et al.* // Nanomaterials. 2022. V. 12. № 24. P. 4464. https://doi.org/10.3390/nano12244464
- 42. *Liu X., Zhang H., Shen T. et al.* // Ceram. Int. 2024. V. 50. № 1. P. 2459. https://doi.org/10.1016/j.ceramint.2023.11.032
- 43. *Yang E., Park K.H., Oh T. et al.* // Sens. Actuators, B: Chem. 2024. V. 409. P. 135542. https://doi.org/10.1016/j.snb.2024.135542
- 44. *Yu H., Dai L., Liu Y. et al.* // J. Alloys Compd. 2023. V. 962. P. 171170. https://doi.org/10.1016/j.jallcom.2023.171170
- 45. *Zhu X.*, *Li J.*, *Chang X. et al.* // Appl. Surf. Sci. 2024. V. 660. P. 159976. https://doi.org/10.1016/j.apsusc.2024.159976
- 46. *Zhang D., Jiang J., Yang Y. et al.* // Sens. Actuators, B: Chem. 2024. V. 410. P. 135727. https://doi.org/10.1016/j.snb.2024.135727
- 47. *Chu L., Yan H., Xie W. et al.* // Chin. Chem. Lett. 2023. V. 34. № 8. P. 108512. https://doi.org/10.1016/j.cclet.2023.108512
- 48. *Wang C., Li R., Feng L. et al.* // Chemosensors. 2022. V. 10. № 3. P. 109. https://doi.org/10.3390/chemosensors10030109
- 49. *Wang Z., Wang F., Hermawan A. et al.* // J. Mater. Sci. Technol. 2021. V. 73. P. 128. https://doi.org/10.1016/j.jmst.2020.07.040
- 50. *Zhang Y., Wang M.-Y., San X.-G. et al.* // Rare Met. 2024. V. 43. № 1. P. 267. https://doi.org/10.1007/s12598-023-02456-0
- 51. *Liang D., Song P., Liu M. et al.* // Ceram. Int. 2022. V. 48. № 7. P. 9059. https://doi.org/10.1016/j.ceramint.2021.12.089
- 52. *Xu X., Jiang H., Liu W. et al.* // ACS Appl. Nano Mater. 2024. V. 7. № 4. P. 4324. https://doi.org/10.1021/acsanm.3c05859
- 53. *Wu P., Li Y., Xiao S. et al.* // ACS Appl. Mater. Interfaces. 2022. V. 14. № 42. P. 48200. https://doi.org/10.1021/acsami.2c11216
- Zhu M., Deng X., Feng Z. et al. // J. Alloys Compd. 2021. V. 886. P. 161139. https://doi.org/10.1016/j.jallcom.2021.161139

- 55. Simonenko E.P., Simonenko N.P., Nagornov I.A. et al. // Russ. J. Inorg. Chem. 2022. V. 67. № 5. P. 705. https://doi.org/10.1134/S0036023622050187
- 56. Simonenko E.P., Nagornov I.A., Mokrushin A.S. et al. // Materials (Basel). 2023. V. 16. № 13. P. 4506. https://doi.org/10.3390/ma16134506
- 57. Mokrushin A.S., Nagornov I.A., Gorobtsov P.Y. et al. // Chemosensors. 2022. V. 11. № 1. P. 13. https://doi.org/10.3390/chemosensors11010013
- 58. Simonenko E.P., Simonenko N.P., Nagornov I.A. et al. // Russ. J. Inorg. Chem. 2022. V. 67. № 11. P. 1850. https://doi.org/10.1134/S0036023622601222
- 59. Simonenko E.P., Nagornov I.A., Mokrushin A.S. et al. // Micromachines. 2023. V. 14. № 4. P. 725. https://doi.org/10.3390/mi14040725
- 60. *Badie S., Dash A., Sohn Y.J. et al.* // J. Am. Ceram. Soc. 2021. V. 104. № 4. P. 1669. https://doi.org/10.1111/jace.17582
- 61. *Zhang Z., Zhou Y., Wu S. et al.* // Ceram. Int. 2023. V. 49. № 22. P. 36942. https://doi.org/10.1016/j.ceramint.2023.09.025
- 62. *Liu A., Yang Q., Ren X. et al.* // Ceram. Int. 2020. V. 46. № 5. P. 6934. https://doi.org/10.1016/j.ceramint.2019.11.008
- 63. *Roy C., Banerjee P., Bhattacharyya S.* // J. Eur. Ceram. Soc. 2020. V. 40. № 3. P. 923. https://doi.org/10.1016/j.jeurceramsoc.2019.10.020
- 64. *Luo W., Liu Y., Wang C. et al.* // J. Mater. Chem. C. 2021. V. 9. № 24. P. 7697. https://doi.org/10.1039/D1TC01338F
- 65. Mokrushin A.S., Nagornov I.A., Gorobtsov P.Y. et al. // Chemosensors. 2022. V. 11. № 1. P. 13. https://doi.org/10.3390/chemosensors11010013

- Mokrushin A.S., Simonenko T.L., Simonenko N.P. et al. // J. Alloys Compd. 2021. V. 868. P. 159090. https://doi.org/10.1016/j.jallcom.2021.159090
- 67. *Mokrushin A.S.*, *Simonenko T.L.*, *Simonenko N.P. et al.* // Appl. Surf. Sci. 2022. V. 578. P. 151984. https://doi.org/10.1016/j.apsusc.2021.151984
- 68. *Mokrushin A.S.*, *Nagornov I.A.*, *Simonenko T.L. et al.* // Mater. Sci. Eng. B. 2021. V. 271. P. 115233. https://doi.org/10.1016/j.mseb.2021.115233
- 69. Wyckoff R.W.G. // Cryst. Struct. 1963. V. 1. P. 85.
- 70. *Lane N.J.*, *Vogel S.C.*, *Caspi E.N. et al.* // J. Appl. Phys. 2013. V. 113. № 18. P. 183519. https://doi.org/10.1063/1.4803700
- 71. *Baur W.H.*, *Khan A.A.* // Acta Crystallogr., Sect. B: Struct. Crystallogr. Cryst. Chem. 1971. V. 27. № 11. P. 2133. https://doi.org/10.1107/S0567740871005466
- 72. Wyckoff R.W.G. // Cryst. Struct. 1963. P. 239.
- 73. *Yang Z., Liu A., Wang C. et al.* // ACS Sensors. 2019. V. 4. № 5. P. 1261. https://doi.org/10.1021/acssensors.9b00127
- 74. *Koh H.-J., Kim S.J., Maleski K. et al.* // ACS Sensors. 2019. V. 4. № 5. P. 1365. https://doi.org/10.1021/acssensors.9b00310
- Liu S., Wang M., Liu G. et al. // Appl. Surf. Sci. 2021.
   V. 567. P. 150747.
   https://doi.org/10.1016/j.apsusc.2021.150747
- 76. *Zhang C., Zhang Y., Cao K. et al.* // Ceram. Int. 2021. V. 47. № 5. P. 6463. https://doi.org/10.1016/j.ceramint.2020.10.229
- 77. *Han Y., Cao H., Cao Y. et al.* // J. Mater. Chem. C. 2024. V. 12. № 13. P. 4809. https://doi.org/10.1039/D4TC00111G

## PREPARATION AND CHEMOSENSORY PROPERTIES OF Ti<sub>2</sub>CT<sub>x</sub>-10 mol. % SnO, COMPOSITE MATERIAL

E. P. Simonenko<sup>a, \*</sup>, A. S. Mokrushin<sup>a</sup>, I. A. Nagornov<sup>a</sup>, S. A. Dmitrieva<sup>a, b</sup>, T. L. Simonenko<sup>a</sup>, N. P. Simonenko<sup>a</sup>, N. T. Kuznetsov<sup>a</sup>

<sup>a</sup>Kurnakov Institute of General and Inorganic Chemistry of the Russian Academy of Sciences, Moscow, Russia 119991
 <sup>b</sup>Mendeleev Russian University of Chemical Technology, Mendeleev Russian Chemical and Technological University, Moscow, 125047 Russia

\*e-mail: ep simonenko@mail.ru

A hybrid method for the preparation of  $\text{Ti}_2\text{CT}_x$ —10 mol. %  $\text{SnO}_2$  composite material was developed, combining a deposition method in the presence of dispersed MXene accordion-like aggregates and subsequent hydrothermal treatment. As a result, the MXene multilayer was decorated by ~2–4 nm tin dioxide nanoparticles, and the interlayer spacing of the  $\text{Ti}_2\text{CT}_x$  MXene multilayer increased from 11.6 to 13.5 Å. For the obtained  $\text{Ti}_2\text{CT}_x$ — $SnO_2$  composite material coated by microplotting, a high sensitivity of the receptor layer to 100 ppm ethanol, ammonia and nitrogen dioxide was observed already at room temperature and under conditions of 23% relative humidity. The determined high response of the nanocomposite to humidity changes allows us to consider it as a promising receptor material for a humidity sensor.

Keywords: MXene, composite, chemoresistive gas sensor, microplotter printing, Ti<sub>2</sub>CT<sub>x</sub>, SnO<sub>2</sub>